

空中写真解析による市街地排水区域特性の把握について

鳥取大学工学部 正会員 寺西 靖治

1. まえがき 雨水流去量算定にあたって最も重要なこととして、排水区域を構成する表面工種の分布状態と占有面積をより正確に見積ることにある。本研究発表者は、その考え方を手段として空中写真の利用を開拓してきた。この方法によって、例えても合理的にみかける流去系数あるいは流入時間の推定に明確なる根拠を与えるとともに、表-1にその例を示すところ、都市開発に伴う変化のすう勢を容易に知り得て、将来予想にあたっての少からぬ示唆を得ることができた。本研究は、つきに、空中写真の判読から表面工種の分布図作成までの作業を能率化するために、デジタルメータ（写真密度測定装置）およびコンピューターの利用をはかり、その実際における問題点、解決方法をも併せて検討を加えたものである。

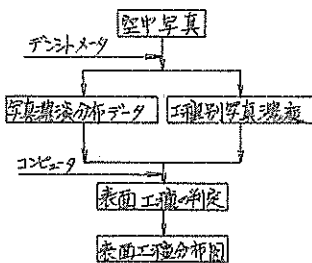
2. 空中写真解析 空中写真解析を行なう操作プロ

セスは概略図-1に示すところである。ここではある問題とあることは、同類の表面工種であつても、物理的・地形的原因によつて光の反射の度合が異なつてゐるため、デジタルメータによる測定結果が必ずしも類似した値とはならぬことである。おしゃく一般的には各工種ともかなり広い密度範囲を示し、その組合せゆる水理学的に複雑な工種においてオーバーラップしている。したがつてコンピューターによる表面工種の判定を標準的な表面工種密度を基準として行なつた結果には誤謬が含まれることになる。しかしながらこの誤謬を完全に防ぐことはかなり困難であつて、おしゃく図-1のプロセスを1度実行したのち、得られた結果を次の表面工種分布図と写真原図とを対比して誤謬部分を見出すやり方の方が簡便である。つきに判読例をあげて、この具体的な方法について述べる。まず判読用の資料として写-1の空中写真を用ひるものとする。判別すべき表面工種として、"屋根"、"舗装道"、"裸地"、"水面部"、"その他"、の6工種をあらわす十分であることがわかる。一般的の空中写真についても手本英直していえることであるが、これら6代表的な表面工種の写真密度範囲は、おしゃく前3者あつて後3者の間に相互にオーバーラップしている。これらを分別するため、つきのようを操作を行う。すなはち、前3者うち"舗装道"は四角的に一定の幅と長さとをもつた単純な形をしており、写真上では最も発見が容易であつて誤謬のチェックは簡単に行なわれる。"裸地"は必ずしも一定の形を有してはいながら、一般的には長方形に近い形をしており、また写真密度は最も明るい部類に属していて比較的遙見がし

表-1 神戸市A排水区域(931ha)における
流去系数の経年変化

工種	基礎流 出系数	1960年			1964年			1969年		
		面積率 ⁽¹⁾ × ⁽²⁾								
屋根	0.9	0.305	0.275	0.329	0.296	0.345	0.311	—	—	—
舗装道	0.8	0.249	0.199	0.260	0.208	0.350	0.280	—	—	—
無舗装道	0.6	0.030	0.018	0.024	0.014	—	—	—	—	—
裸地	0.3	0.078	0.023	0.099	0.030	0.030	0.009	—	—	—
緑地	0.1	0.097	0.010	0.084	0.008	0.072	0.007	—	—	—
鉄道敷	0.1	0.031	0.003	0.031	0.003	0.031	0.003	—	—	—
その他	0.3	0.210	0.063	0.173	0.052	0.172	0.052	—	—	—
合計		1.000	0.591	1.000	0.611	1.000	0.662	—	—	—

図-1 空中写真解析プロセス



写-1 神戸市空中写真



やすい。前3者からこれら工種を取り出した残りのカットを「屋根」と認識する。これに、後3者についても同様にして、識別しやすいものから順に、「水面部」、「緑地」、と分別して最後に残ったもののまゝ「他」と認識する。ここで、「その他」とは家屋と家庭の周囲にあたる端地区的部分あるいは暗い日陰などをした微小面積の部分を意味する。以上の一連の各ステップを実行したもののが図-1～7である。図-1は写真濃度を12段階に設定して、全面積についての濃度を数値化して表わした1次(無修正)分布図である。1個の数値が実際スケールで $3 m^2$ 弱の面積を代表するものであるが、この単位面積は使用する空中写真的縮尺およびデンシトメータの走査スリットの大きさによって任意に選ぶことができる。紙面の都合上、図-2のデータから、濃度の明るい方から9段階までと、それより暗いものの3段階とに大別して後者のみ取り出すと図-3が得られる。この図の右端の水面部に相当する部分に注目してみると、その輪郭がややくらかでなく、とくに上方においてはりかねが浮んでいたために誤読を生じている。図-4～9は文書に述べた操作によってデータを修正したうち、表面工種別に取り出した分布図である。なお、単位面積が既知であるので工種占有面積もコンピュータによって同時に計算される。

3. おさげ 本研究の最終目標は図-1のプロセスを完全自動化することであり、これによって雨水流出量計算の合理化をめざさんとするものである。現段階では半自動の域を出ないが、写真撮影技術上の問題として、時間差撮影(陰の有無による判読難点の解消)、季節撮影(緑地、樹木の判別)、薄日撮影(陰の消去)、赤外線撮影(緑地、水面部の判別)、カラー写真撮影(色調による判読)等を行なって種々な角度からの解析を併用すれば、目標にかなり近づくこと可能となる。この点については本現在研究進行中である。

参考文献: 1,2,3) (今田健), 寺西靖治: 市街地雨水排除計画の合理化に関する研究, 第22回土木学会年譲, 昭和42; 第6回下水講, 昭和44; 第24回土木学会年譲, 昭和44

図-2 写真濃度分布図

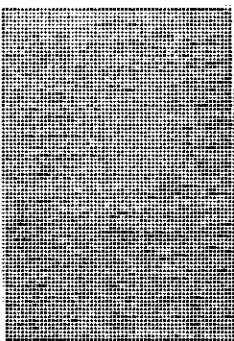


図-3 大濃度分布図

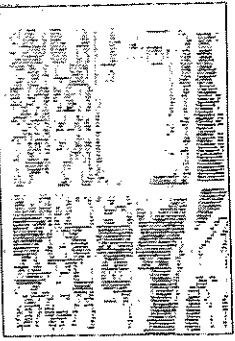


図-4 鋪装道分布図

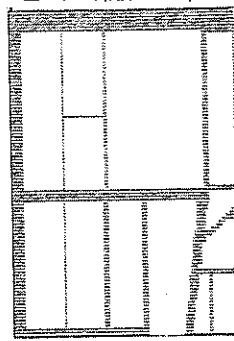


図-5 裸地分布図

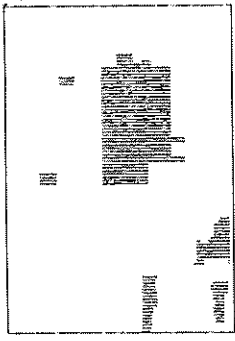


図-6 屋根分布図

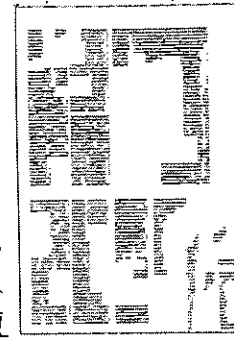


図-7 水面部分布図

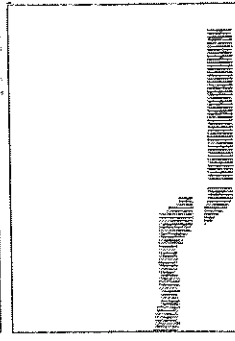


図-8 緑地分布図

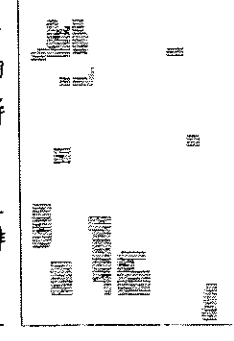


図-9 その他分布図

